

広島大学工学部 正員 細田 尚
 京都大学工学部 正員 岩佐 義朗
 広島大学工学部 正員 余越正一郎

1. 序論

本研究は、まず直交曲線座標系での $k-\epsilon$ 方程式を誘導する。得られた基礎式を round jet に適用し、 $k-\epsilon$ モデルの定性的な特性、すなわち、特性量の分布形の相似性を仮定したときの、噴流軸上の流速 U_m 、乱れエネルギー k_m 、エネルギー散逸率 ϵ_m 、噴流幅 b の減衰率を求め、 $k-\epsilon$ モデルの有効性を検討した。

2. 直交曲線座標系での $k-\epsilon$ 方程式

Navier-Stokes 方程式は、直交曲線座標系で次のようになる。

$$\frac{\partial v^i}{\partial t} + v^j \nabla_j v^i = F^i - \frac{1}{\rho} g^{ij} \nabla_j p + 2\nu \nabla_j e^{ij}, \quad e^{ij} = \frac{1}{2} g^{ik} g^{jl} (\nabla_k v_l + \nabla_l v_k) \quad (1)$$

ここに、 v^i ；流速ベクトル V の反変成分、 p ；圧力、 g^{ij} ；計量テンソルの反変成分、 ∇_i ；共変微分を表わす。
 (以後、上付添字は反変成分、下付添字は共変成分を示す。)

(1)式より Reynolds 方程式は次のようになる。

$$\frac{\partial \bar{v}^i}{\partial t} + \bar{v}^j \nabla_j \bar{v}^i + \nabla_j \overline{v^i v^j} = F^i - \frac{1}{\rho} g^{ij} \nabla_j \bar{p} + 2\nu \nabla_j e^{ij} \quad (2)$$

(1)式より(2)式を引いて、変動流速に関して

$$\frac{\partial v^i}{\partial t} + v^j \nabla_j v^i + \bar{v}^j \nabla_j v^i - \nabla_j \overline{v^i v^j} + \nabla_j v^i \bar{v}^j = -\frac{1}{\rho} g^{ij} \nabla_j p' + 2\nu \nabla_j e^{ij'} \quad (3)$$

が得られ、上式に v^i を乗じて縮約し、時間平均をとれば、乱れエネルギー $k = \frac{1}{2} \overline{v^i v^i}$ に関して

$$\begin{aligned} \frac{\partial k}{\partial t} + \bar{v}^j \nabla_j k &= -g_{ii} \overline{v^i v^i} \nabla_j v^i - \nabla_j \left[\overline{v^i v^i} \left(k' + \frac{p'}{\rho} \right) \right] \\ &\quad - 2\nu \left(g_{ii} \nabla_i \overline{v^i e^{ij'}} - g_{ii} \overline{v^i} \nabla_j e^{ij'} \right) + 2\nu g_{ii} \nabla_j \overline{v^i e^{ij'}} \end{aligned} \quad (4)$$

が得られる。エネルギー散逸率は

$$\epsilon = \nu \left[g_{ii} \nabla_j \overline{v^i e^{ij'}} - g_{ii} \overline{v^i} \nabla_j e^{ij'} \right] = \nu \left[\overline{v_i v_j} \nabla_j v^i + g_{ii} g^{jj} \overline{v_j v^i} \nabla_j v^i \right] \quad (5)$$

で定義され、 $\overline{v_i v^i} \nabla_j v^i} = \overline{v_i} \nabla_j \overline{v^i v^i}$ であるから $\overline{v_i v^i} \nabla_j v^i} \ll \overline{v^i v^i} \nabla_j v^i}$ と考えて、通常

$$\epsilon \approx \nu g_{ii} g^{jj} \overline{v_j v^i} \nabla_j v^i} \quad (6)$$

と近似される。そこで、(3)式に ∇_k を作用させ、 $\nu g^{kk} \nabla_k v^i}$ を乗じて縮約することにより

$$\begin{aligned} \frac{\partial \epsilon}{\partial t} + \bar{v}^j \nabla_j \epsilon &= -2\nu \left(g^{kk} g_{ii} \overline{\nabla_k v^i} \nabla_k v^i} + g^{ij} g_{kk} \overline{\nabla_j v^k} \nabla_k v^i} \right) \nabla_j v^i \\ &\quad - \nabla_j \left[\overline{v^i v^i} + 2\nu g^{kk} \overline{\nabla_k v^i} \nabla_k \frac{p'}{\rho} \right] - 2\nu g^{kk} g_{ii} \overline{\nabla_k v^i} \nabla_j v^i} \nabla_k v^i} - 2\nu^2 g^{kk} g_{ii} g^{jj} \overline{(\nabla_j \nabla_k v^i)^2} \\ &\quad - 2\nu g^{kk} g_{ii} \overline{v^i \nabla_k v^i} \nabla_j \nabla_k v^i} + \nu g^{ij} \nabla_j \nabla_j \epsilon \end{aligned} \quad (7)$$

が得られる。k-εモデルでは、渦動粘性係数Dを乱れ強さのスケールと乱れの空間的スケールの積として表わすとき、乱れ強さのスケールとして \sqrt{k} 、乱れの空間的スケールとして $\sqrt{k^3}/\epsilon$ を考え、 $D=c_p k^2/\epsilon$ とし、Reynolds 応力を次のように表わす。

$$-\overline{v^i v^j} = 2D \bar{e}^i \bar{e}^j - \frac{2}{3} k \delta_i^j \bar{g}^{ii} \quad (8)$$

さらに、k, εの方程式の各項をDを用いて表わして¹⁾、k, εの基礎式として次式を用いる。

$$\frac{\partial k}{\partial t} + \bar{v}^i \bar{v}_j k = 2D \bar{e}^i \bar{v}_j \bar{v}^i \bar{g}_{ii} + \bar{v}_j \left(\frac{D}{\sigma_k} g^{ij} \bar{v}_j k \right) - \epsilon \quad (9)$$

$$\frac{\partial \epsilon}{\partial t} + \bar{v}^i \bar{v}_j \epsilon = -c_{\epsilon 1} \frac{g_{ii} \overline{v^i v^j}}{k} \epsilon \bar{v}_j \bar{v}^i + \bar{v}_j \left(\frac{D}{\sigma_\epsilon} g^{ij} \bar{v}_j \epsilon \right) - c_{\epsilon 2} \frac{\epsilon^2}{k} \quad (10)$$

3. round jet の特性

連続式、Reynolds 方程式、k-ε方程式に $g_{xx}=1, g_{rr}=1, g_{\theta\theta}=r^2$ を代入して、 $\partial^-/\partial\theta=0$ と静水圧分布の仮定を行い、さらに、流れ方向の変化のスケールが半径方向の変化のスケールに比べて十分大きいとして Ordering Analysis を行えば次のようになる。(Fig.1 参照)

$$\frac{\partial}{\partial x} U_x + \frac{1}{r} \frac{\partial}{\partial r} (r U_r) = 0 \quad (11)$$

$$U_x \frac{\partial U_x}{\partial x} + U_r \frac{\partial U_x}{\partial r} = \frac{1}{r} \frac{\partial}{\partial r} \left(r D \frac{\partial U_x}{\partial r} \right) \quad (12)$$

$$U_x \frac{\partial k}{\partial x} + U_r \frac{\partial k}{\partial r} = D \left(\frac{\partial U_x}{\partial r} \right)^2 - \epsilon + \frac{1}{r} \frac{\partial}{\partial r} \left(r \frac{D}{\sigma_k} \frac{\partial k}{\partial r} \right) \quad (13)$$

$$U_x \frac{\partial \epsilon}{\partial x} + U_r \frac{\partial \epsilon}{\partial r} = c_{\epsilon 1} \frac{\epsilon}{k} D \left(\frac{\partial U_x}{\partial r} \right)^2 - c_{\epsilon 2} \frac{\epsilon^2}{k} + \frac{1}{r} \frac{\partial}{\partial r} \left(r \frac{D}{\sigma_\epsilon} \frac{\partial \epsilon}{\partial r} \right) \quad (14)$$

分布形が自己相似のとき

$$U_x = U_m f(\eta), k = k_m g(\eta), \epsilon = \epsilon_m h(\eta) \quad (\eta = r/b)$$

$$U_m \propto \xi^p, b \propto \xi^q, k_m \propto \xi^r, \epsilon_m \propto \xi^s \quad (\xi = x/b_0)$$

とおけば、次元考察により

$$p + q = 0, \quad p - 2q - 2r + s = 1 \quad (15)$$

$$p - 2q + r - s = -1, \quad p + r - s = 1$$

が得られ、その結果

$$U_m \propto x^{-1}, b \propto x^1, k_m \propto x^{-2}, \epsilon_m \propto x^{-4} \quad (16)$$

となる。減衰のべきを、著者らが求めた二次元jetの²⁾の²⁾とあわせて、Table 1 に示した。表には、渦動粘性係数で定義した Reynolds 数 $Re_D = U_m b / c_p \left(\frac{k}{\epsilon} \right)$ も示したが、いずれも0となり、 Re_D は流下が進んでも一定となっている。また、 U_m, b に関しては、従来より実験的に示された値と一致しており、k-εモデルの有効性が示された。

参考文献

- 1) Hanjalic, Launder ; J.F.M., Vol. 52, 1972
- 2) 岩佐, 細田, 松井 ; 土木学会第38回年次講演会概要集, 1983

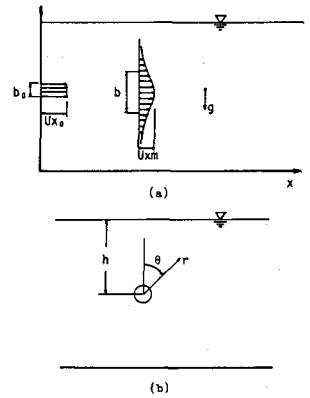


Fig. 1 座標系

	slot	round
U_m	-1/2	-1
b	1	1
k_m	-1	-2
ϵ_m	-5/2	-4
Re_D	0	0

Table 1 減衰のべき